

## ВЛАСТИВОСТІ СПЕКТРА ЕЛЕКТРОНІВ І ДІРОК У КВАНТОВОМУ ДРОТІ, ЩО ПЕРЕТИНАЄ ПЛОСКУ КВАНТОВУ ЯМУ В ЗОВНІШНЬОМУ СЕРЕДОВИЩІ

М. В. Ткач, О. М. Маханець, А. М. Гришук  
*Чернівецький національний університет ім. Ю. Федьковича,  
вул. Коцюбинського, 2, Чернівці, 58012*

(Отримано 17 січня 2006 р.; в остаточному вигляді — 10 листопада 2006 р.)

У наближенні ефективних мас і прямокутного потенціалу розраховано енергетичні спектри та хвильові функції електронів і дірок у складній комбінованій напівпровідниковій наногетеросистемі, що перебуває в зовнішньому середовищі і складається з циліндричного напівпровідникового квантового дроту, який перпендикулярно перетинає плоску квантову яму. Докладно досліджено залежності енергій квазічастинок від радіуса квантового дроту й ширини квантової ями.

**Ключові слова:** циліндрична квантова точка, циліндричний квантовий дріт, плоска квантова яма, енергетичний спектр, хвильова функція.

PACS number(s): 73.21.Fg, 73.21.Hb, 73.21.La

### I. ВСТУП

Останніми роками багато теоретичних й експериментальних робіт присвячено вивченню різного типу напівпровідникових гетеросистем. Це зумовлено перспективами їх застосування в наноелектроніці та прецизійній лазерній техніці [1,2].

Для того, щоб цілеспрямовано отримувати необхідні властивості об'єктів нового типу, слід вивчити фізичні явища, що в них відбуваються. Для цього потрібна теорія спектрів квазічастинок та їхньої взаємодії між собою і з різними зовнішніми полями в різних наногетеросистемах. Теорію електронів, дірок, екситонів, фононів та взаємодії цих квазічастинок між собою, а також з електричним і магнетним полями у квантових точках (КТ) [3–5], квантових дротах (КД) [6,7], квантових ямах (КЯ) [8,9] інтенсивно розробляли останнім десятиліттям і досягли не лише якісного, але й непоганого кількісного узгодження з експериментом. Це стосується багатопарових відкритих і закритих систем, в основному, сферичної та циліндричної симетрії [10–12].

Оскільки технологія виготовлення різних наносистем прогресує дуже швидко, то вже існують і детально вивчаються експериментально створені досить складні комбіновані наноконструкції, які містять різноманітні просторові з'єднання квантових точок, квантових дротів і квантових ям. Дослідження таких систем важливе у зв'язку з можливістю їх використання у приладах фізичної, біомедицинської та оптоелектроніки [13]. Теорії спектрів квазічастинок у таких системах поки що не існує взагалі, оскільки вони досить складні для математичного опису. Тому цікаво і важливо дослідити особливості поведінки “основних” квазічастинок (електронів, дірок, екситонів) хоча б у порівняно простих системах.

Однією з таких систем є циліндричний напівпровід-

никовий квантовий дріт, що перетинає плоску квантову яму. Теорії фізичних явищ у таких системах ще немає, бо відсутня навіть теорія спектрів та взаємодії основних квазічастинок між собою і з полями в цих системах.

Створення такої квантовомеханічної теорії є актуальною задачею, хоча вона апіорі матиме очевидні математичні труднощі, зумовлені необхідністю розв'язування задачі Шредингера зі складними граничними умовами.

Метою цієї роботи є побудова теорії спектра електрона й дірки в достатньо простій комбінованій наногетеросистемі, що складається з циліндричного КД, який перпендикулярно перетинає плоску КЯ в зовнішньому середовищі. Як буде показано, висока симетрія системи дає змогу розв'язати цю задачу і вперше дослідити цікаві особливості спектрів електронів і дірок у цій наносистемі.

### II. ТЕОРІЯ СПЕКТРА ЕЛЕКТРОНА (ДІРКИ) В ЦИЛІНДРИЧНОМУ НАПІВПРОВІДНИКОВОМУ КВАНТОВОМУ ДРОТІ, ЩО ПЕРЕТИНАЄ КВАНТОВУ ЯМУ

Розглянуто вміщену в середовище (3) наногетеросистему, яка складається з циліндричного напівпровідникового квантового дроту радіуса  $\rho_0$  (1), що перпендикулярно перетинає безмежну плоску квантову яму шириною  $h_0$  (2), утворюючи циліндричну КТ (0) (рис. 1).

Для того, щоб отримати спектр екситонів у досліджуваній системі, спершу необхідно розвинути теорію електронних та діркових спектрів і відповідних хвильових функцій, а оскільки вона цілком еквівалентна для обох квазічастинок, то в цьому параграфі ми

опустимо індекси електрона чи дірки й будемо розглядати спектр і хвильові функції квазічастинки з відомою ефективною масою  $m(\mathbf{r})$  і потенціалом  $U(\mathbf{r})$ .

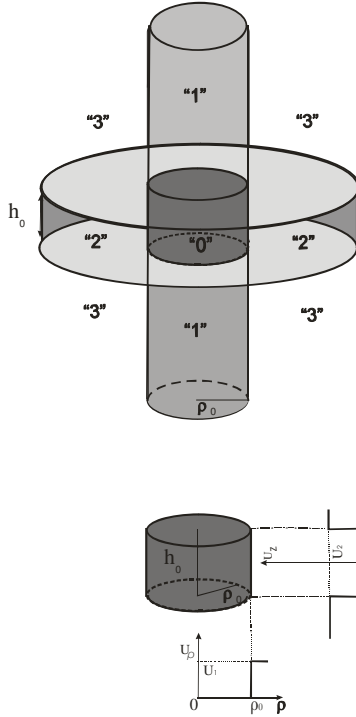


Рис. 1. Геометрична схема квантового дроту (1), що перетинає плоску квантову яму (2) у зовнішньому середовищі (3), та потенціальна енергія електрона в утвореній циліндричній КТ (0).

Ефективні маси й потенціальні енергії електрона в різних ділянках наногетеросистеми вважаються, як це прийнято в літературі [3,10–12,14], відомими й рів-

ними тим, якими квазічастинка характеризується в масивних аналогах складових нанокристалів

$$m(\mathbf{r}) = \begin{cases} m_0, & \text{середовище "0",} \\ m_1, & \text{середовище "1",} \\ m_2, & \text{середовище "2",} \end{cases} \quad (1)$$

$$U(\mathbf{r}) = \begin{cases} 0, & \text{середовище "0",} \\ U_1, & \text{середовище "1",} \\ U_2, & \text{середовище "2",} \\ \infty, & \text{середовище "3".} \end{cases} \quad (2)$$

Енергетичний спектр і хвильові функції квазічастинки визначають, як відомо [15,16], рівнянням Шредингера

$$\left( -\frac{\hbar^2}{2} \nabla \frac{1}{m(\mathbf{r})} \nabla + U(\mathbf{r}) \right) \psi(\mathbf{r}) = E \psi(\mathbf{r}), \quad (3)$$

яке в доцільній для цього випадку циліндричній системі координат є таким

$$\left[ -\frac{\hbar^2}{2} \left( \frac{1}{\rho} \frac{\partial}{\partial \rho} \rho \frac{1}{m(\rho, z)} \frac{\partial}{\partial \rho} + \frac{1}{\rho^2} \frac{\partial^2}{\partial \varphi^2} + \frac{\partial^2}{\partial z^2} \right) + U(\rho, z) \right] \psi(\rho, \varphi, z) = E \psi(\rho, \varphi, z). \quad (4)$$

Ураховуючи симетрію задачі, розв'язок рівняння (4) зручно шукати в різних ділянках простору в такому вигляді:

$$\psi(\mathbf{r}) = \begin{cases} \psi_0(\rho, \varphi, z) = A_0 J_m(\chi_0 \rho) \exp(im\varphi) \begin{pmatrix} \sin k_0 z \\ \cos k_0 z \end{pmatrix}, & \text{("0")} \\ \psi_1(\rho, \varphi, z) = A_1 J_m(\chi_1 \rho) \exp(im\varphi) \exp(-k_1 z), & \text{("1")} \\ \psi_2(\rho, \varphi, z) = A_2 K_m(\chi_2 \rho) \exp(im\varphi) \begin{pmatrix} \sin k_2 z \\ \cos k_2 z \end{pmatrix}, & \text{("2")} \end{cases} \quad (5)$$

де  $A_0, A_1, A_2$  — деякі константи,  $J_m(\rho)$  і  $K_m(\rho)$  функція Бесселя й Макдональда цілого порядку,  $m$  — магнетне квантове число,

$$\chi_0 = \sqrt{\frac{2m_0}{\hbar^2} \left( E - \frac{\hbar^2 k_0^2}{2m_0} \right)}, \quad \chi_1 = \sqrt{\frac{2m_1}{\hbar^2} \left( U_1 - E + \frac{\hbar^2 k_1^2}{2m_1} \right)}, \quad (6)$$

$$\chi_2 = \sqrt{\frac{2m_2}{\hbar^2} \left( U_1 - E + \frac{\hbar^2 k_2^2}{2m_2} \right)}.$$

$k_0, k_1, k_2$  — поки що невідомі величини.

Розв'язки задачі повинні задовольняти граничні умови неперервності хвильових функцій та потоків їхньої густини ймовірності на всіх межах поділу між внутрішніми середовищами наногетеросистеми ("0"–"1" та "0"–"2") (рис. 1).

$$\left\{ \begin{array}{l} \psi_0(\rho, \varphi, z) \Big|_{\rho=\rho_0} = \psi_2(\rho, \varphi, z) \Big|_{\rho=\rho_0}, \\ \frac{1}{m_0} \frac{\partial \psi_0(\rho, \varphi, z)}{\partial \rho} \Big|_{\rho=\rho_0} = \frac{1}{m_2} \frac{\partial \psi_2(\rho, \varphi, z)}{\partial \rho} \Big|_{\rho=\rho_0}, \end{array} \right. \quad \} \text{ ("0"–"2")} \\ \left\{ \begin{array}{l} \psi_0(\rho, \varphi, z) \Big|_{z=h_0/2} = \psi_1(\rho, \varphi, z) \Big|_{z=h_0/2}, \\ \frac{1}{m_0} \frac{\partial \psi_0(\rho, \varphi, z)}{\partial z} \Big|_{z=h_0/2} = \frac{1}{m_1} \frac{\partial \psi_1(\rho, \varphi, z)}{\partial z} \Big|_{z=h_0/2}, \end{array} \right. \quad \} \text{ ("0"–"1")} \quad (7)$$

Крім цього, на межах наносистеми із зовнішнім середовищем, через наявність безмежного потенціального бар'єра, повинні зникати хвильові функції  $\psi_1$  і  $\psi_2$

$$\begin{aligned} \psi_1(\rho, \varphi, z) \Big|_{\rho=\rho_0} &= 0, \quad \text{("1"–"3")}, \\ \psi_2(\rho, \varphi, z) \Big|_{z=h_0/2} &= 0, \quad \text{("2"–"3")}. \end{aligned} \quad (8)$$

Із цих умов визначаємо величини

$$\chi_1 = \frac{x_{p_d m}}{\rho_0}, \quad k_2 = \frac{\pi p_y}{h_0}. \quad (9)$$

Тут  $x_{p_d m}$  — нулі функції Бесселя цілого порядку, де число  $p_d = 1, 2, 3, \dots$  — номер нуля, що зумовлений обмеженням руху квазічастки з квантового дроту в навколишнє середовище в радіальному напрямку, число  $p_y = 1, 2, 3, \dots$  — зумовлює обмеження руху квазічастинки з квантової ями в навколишнє середовище в напрямку, паралельному до аксіальної осі.

З умови нетривіальності розв'язку системи рівнянь (7) щодо коефіцієнтів  $A_0, A_1, A_2$  при врахуванні умови нормування

$$\iiint |\psi(\mathbf{r})|^2 d\mathbf{r} = 1 \quad (10)$$

отримуємо систему трансцендентних рівнянь, яка однозначно визначає хвильові функції  $\psi_{n_z, n_\rho, m}^{e(p_d, p_y)}$  та енергетичний спектр електрона ( $E_{n_z, n_\rho, m}^{e(p_d, p_y)}$ ) при фіксованих значеннях чисел  $p_d, p_y$  та квантових чисел  $n_z, n_\rho, m$ .

$$\left\{ \begin{array}{l} \frac{k_0}{m_0} \left( \text{ctg} \left( k_0 \frac{h_0}{2} \right) - \text{tg} \left( k_0 \frac{h_0}{2} \right) \right) = -\frac{k_1}{m_1}, \\ \frac{\chi_0}{m_0} \frac{J'_m(\chi_0 \rho_0)}{J_m(\chi_0 \rho_0)} = \frac{\chi_2}{m_2} \frac{K'_m(\chi_2 \rho_0)}{K_m(\chi_2 \rho_0)} \end{array} \right. \quad (11)$$

Зауважимо, що числа  $p_d, p_y$  формально подібні до квантових чисел  $n_z, n_\rho$ , тільки перші визначаються лише умовами зникнення хвильових функцій на відповідних межах із зовнішнім середовищем, а другі — умовами неперервності хвильових функцій і потоків густин на внутрішніх межах складної наногетеросистеми. Отже, "фізична природа" груп чисел  $(p_d, p_y)$

і  $(n_z, n_\rho)$  трохи подібна, а трохи відрізняється, тому надалі ми будемо називати  $(p_d, p_y)$  просто числами, а  $(n_z, n_\rho)$  — квантовими числами.

### III. АНАЛІЗ ТА ОБГОВОРЕННЯ РЕЗУЛЬТАТІВ

Числові розрахунки енергетичного спектра електронів (дірок) виконано для наногетеросистеми з напівпровідників  $\beta\text{-HgS}$  (середовище "0") і  $\beta\text{-CdS}$  (середовища "1" і "2"). Матеріальні параметри таких напівпровідників добре відомі [14].

Результати розрахунків залежностей енергій електрона ( $E_{n_z, n_\rho, m}^{e(p_d, p_y)}$ ) і дірки ( $E_{n_z, n_\rho, m}^{h(p_d, p_y)}$ ) від радіуса квантового дроту ( $\rho_0$ ) при фіксованій висоті циліндричної КТ  $h_0 = 10 a_{\text{HgS}}$  і фіксованих числах  $p_d, p_y$  та при квантовому числі  $m = 0$  зображено на рис. 2а,б, при тих же числах ( $p_d, p_y, m = 0$ ) залежність ( $E_{n_z, n_\rho, m}^{e(p_d, p_y)}$ ) і ( $E_{n_z, n_\rho, m}^{h(p_d, p_y)}$ ) від висоти циліндричної КТ ( $h_0$ ) при  $\rho_0 = 10 a_{\text{HgS}}$  зображено на рис. 2с,д.

Із фізичних міркувань зрозуміло, і це видно з рис. 2, що якісно поведінка спектрів електрона й дірки однакова, а кількісна різниця зумовлена лише відмінністю їхніх ефективних мас і потенціальних енергій. Тому досить обмежитись аналізом спектра електронних станів.

З рисунка 2а,б видно, що зі збільшенням  $\rho_0$  всі енергетичні рівні  $E_{n_z, n_\rho, 0}^{e(1,1)}$  зміщуються в ділянку менших енергій. За фіксованих  $p_d = 1, p_y = 1, m = 0$  спектральні рівні утворюють групи за квантовим числом  $n_z$ , у які входять рівні з різним значенням квантового числа  $n_\rho$ . Таким чином, основному енергетичному рівню відповідає стан із числами  $p_d = 1, p_y = 1$  та з квантовими числами  $m = 0, n_z = 1, n_\rho = 1$ . Енергії групи рівнів із  $n_z = 1$  і  $n_z = 2$  зі збільшенням радіуса квантового дроту  $\rho_0$  зменшуються і, як і повинно бути в граничному випадку ( $\rho_0 \gg h_0$ ), наближаються до значень енергій, що відповідають двом енергетичним станам електрона  $E_{n_z=1,2,m=0}^e$  у плоскій КЯ безмежного радіуса ( $\rho_0 \rightarrow \infty$ ) наносистеми  $\beta\text{-HgS}$ , розташованій у середовищі  $\beta\text{-CdS}$ .

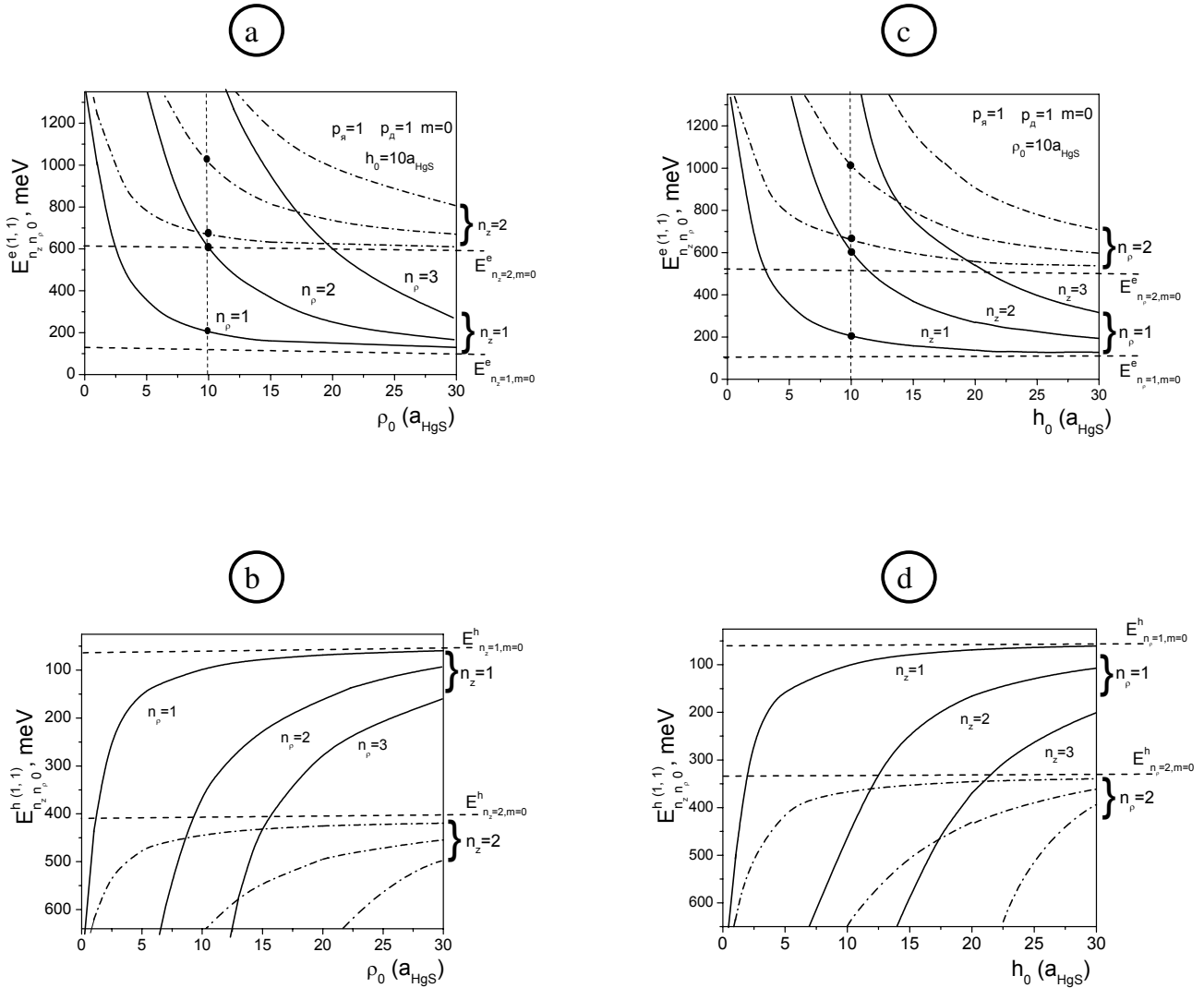


Рис. 2. Залежність енергетичних рівнів  $E_{n_z, n_\rho, m}^{e, h(1,1)}$  електрона та дірки від радіуса циліндричного КД ( $\rho_0$ ) при  $h_0 = 10a_{\text{HgS}}$  (a,b) і від висоти  $h_0$  циліндричної КТ при  $\rho_0 = 10a_{\text{HgS}}$  (c,d).

З рисунка (2c,d.) видно, що поведінка енергетичних рівнів електрона й дірки за збільшенням висоти циліндричної КТ подібна до тієї, що була при збільшенні радіуса квантового дроту, але змінюється ієрархія енергетичних рівнів. Так, тепер вони утворюють групи за квантовим числом  $n_\rho$ , у які входять стани з різними квантовими числами  $n_z$ . Як і раніше, основному енергетичному рівню відповідають числа  $p_d = 1$ ,  $p_\pi = 1$  та квантові числа  $m = 0$ ,  $n_z = 1$ ,  $n_\rho = 1$ . Зі збільшенням висоти ЦКТ групи рівнів із  $n_\rho = 1$  і  $n_\rho = 2$  асимптотично наближаються до значень енергії  $E_{n_\rho=1,2,m=0}^{e,h}$ , що відповідає двом квантовим станам квазічастинки у квантовому дроті  $\beta\text{-HgS}$  радіуса  $\rho_0 = 10a_{\text{HgS}}$ , який розташований у середовищі  $\beta\text{-CdS}$ .

На рис. 3a,b,c,d зображено залежності густин ймовірностей  $W_{n_z, n_\rho, m}^{e(1,1)} = \rho \left| \psi_{n_z, n_\rho, m}^{e(1,1)}(\rho, z) \right|^2$  основного й

кількох нижніх збуджених станів електрона від змінних  $z$  і  $\rho$ . З рис. 3a видно, що  $W_{110}^{e(1,1)}$  має один максимум, як і повинно бути із загальної теорії локалізованих станів квазічастинок. Рис. 3b відповідає першому збудженому енергетичному рівню з числами  $p_\pi = 1$ ,  $p_d = 1$  та квантовими числами  $m = 0$ ,  $n_z = 1$ ,  $n_\rho = 2$ . З рисунка видно, що густина ймовірності має два максимуми вздовж напрямку  $\rho$  і один — уздовж напрямку  $z$ . Рис. 3c описує густину ймовірності перебування електрона на третьому збудженому рівні з числами  $p_\pi = 1$ ,  $p_d = 1$  та квантовими числами  $n_z = 2$ ,  $n_\rho = 1$ ,  $m = 0$ . Відповідно  $W_{021}^{e(1,1)}$  має два максимуми вздовж напрямку  $z$  (хвильова функція симетрична щодо заміни  $z$  на  $-z$ ) і один — уздовж напрямку  $\rho$ . Нарешті рис. 3d відповідає числам  $p_\pi = 1$ ,  $p_d = 1$  та квантовим числам  $n_z = 2$ ,  $n_\rho = 2$ ,  $m = 0$  і густина ймовірності має по два максимуми вздовж обох напрямків.

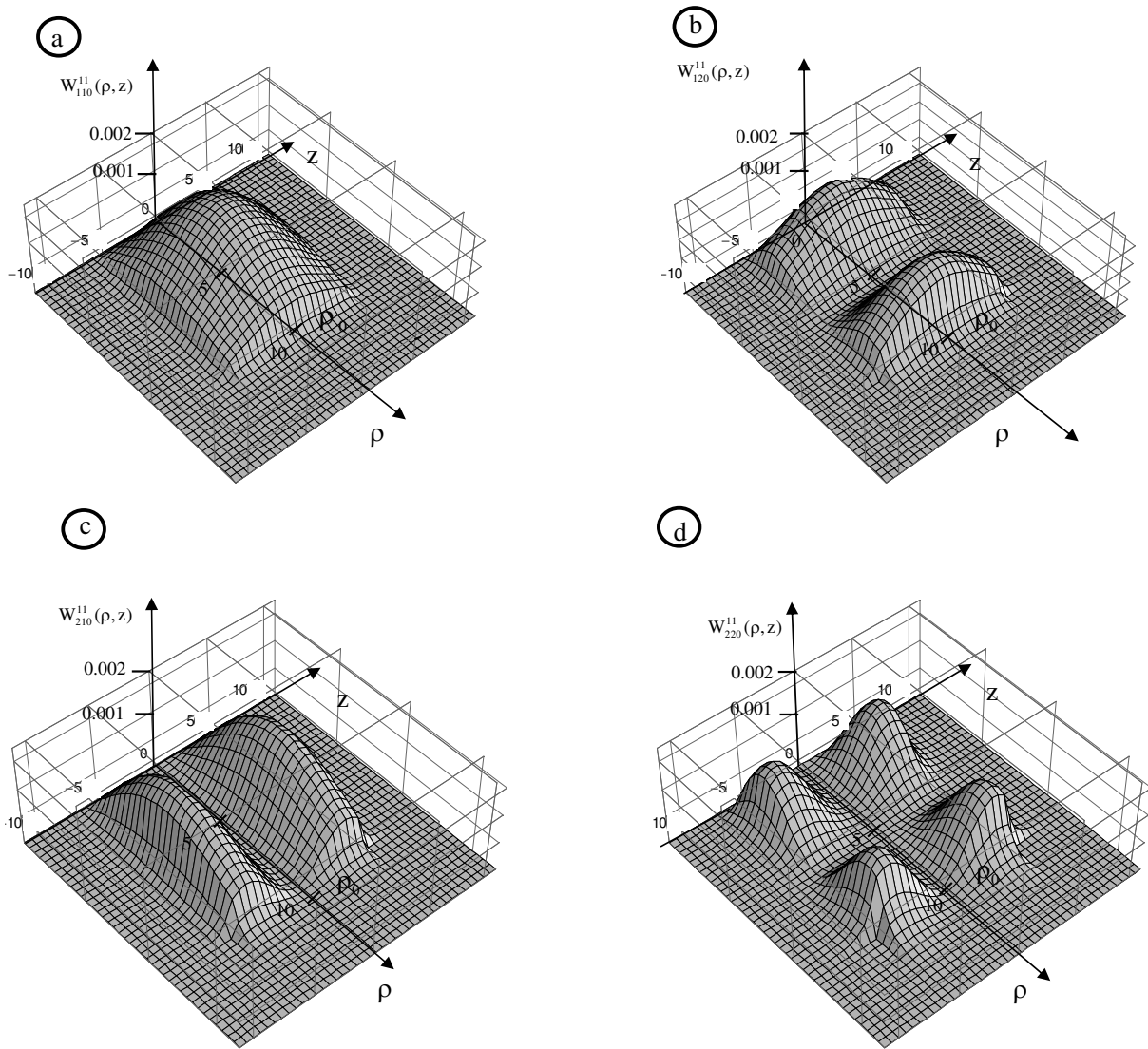


Рис. 3. Залежності густин ймовірностей знаходження електрона в кількох станах від змінних  $\rho$  і  $z$  при  $\rho_0 = 10a_{\text{HGS}}$  і  $h_0 = 10a_{\text{HGS}}$ .

Із загального аналізу системи рівнянь (11) випливає, що всі електронні (діркові) стани є двічі виродженими за магнетним квантовим числом  $m$  (крім  $m = 0$ ). Окрім того, як видно з рис. 2, існує також випадкове виродження різних станів (навіть при  $m = 0$ ), оскільки при зміні радіуса квантового дроту  $\rho_0$  чи висоти квантової точки  $h_0$  перетинаються між собою рівні з різними значеннями  $n_z$  та  $n_\rho$  (рис. 2).

На рис. 4а,б,с наведено результати розрахунку енергій електронного спектра для чотирьох найнижчих енергетичних рівнів із  $n_z = 1, 2$ ,  $n_\rho = 1, 2$  при  $m = 0, 1, 2$ ,  $\rho_0 = 10a_{\text{HGS}}$ ,  $h_0 = 10a_{\text{HGS}}$  в інтервалах значень чисел  $p_d$  і  $p_\pi$  від 1 до 5. З рисунка добре видно основні властивості  $E_{n_z n_\rho m}^{e(p_d, p_\pi)}$ . Вони такі.

Зі збільшенням величини квантових чисел  $n_z$ ,  $n_\rho$ ,  $m$  енергії електронів у стаціонарних станах зростають. При цьому залежність енергій квазічастинки від чисел  $p_d$  і  $p_\pi$  плавна (майже лінійна), а від магнет-

ного квантового числа  $m$  — різка. Так, наприклад, якщо при  $m = 0$  у наногетеросистемі існують стаціонарні стани із  $n_z = 1, 2$ ,  $n_\rho = 1, 2$  (рис. 4а), то при  $m = 1$  стан із  $n_z = 2$ ,  $n_\rho = 2$  існує лише при  $p_\pi = 1$ , а  $p_d = 1, 2, 3$  (рис. 4б). Якщо ж  $m = 2$ , то стаціонарних станів із  $n_\rho = 2$  не існує взагалі (вони потрапляють у неперервний спектр енергій).

Підсумовуючи отримані результати, варто відзначити, що розвинена в роботі теорія не лише описує властивості спектрів електронів та дірок, але й на базі знайдених хвильових функцій цих квазічасток дає змогу побудувати теорію екситонного спектра, а також досліджувати взаємодію цих квазічасток із фононами, що буде зроблено в наступних роботах.

Нарешті, слід зауважити, що отримані позитивні результати використаного в роботі математичного методу дає надію для дослідження ще складніших просторових комбінацій наносистем, створених експериментально.

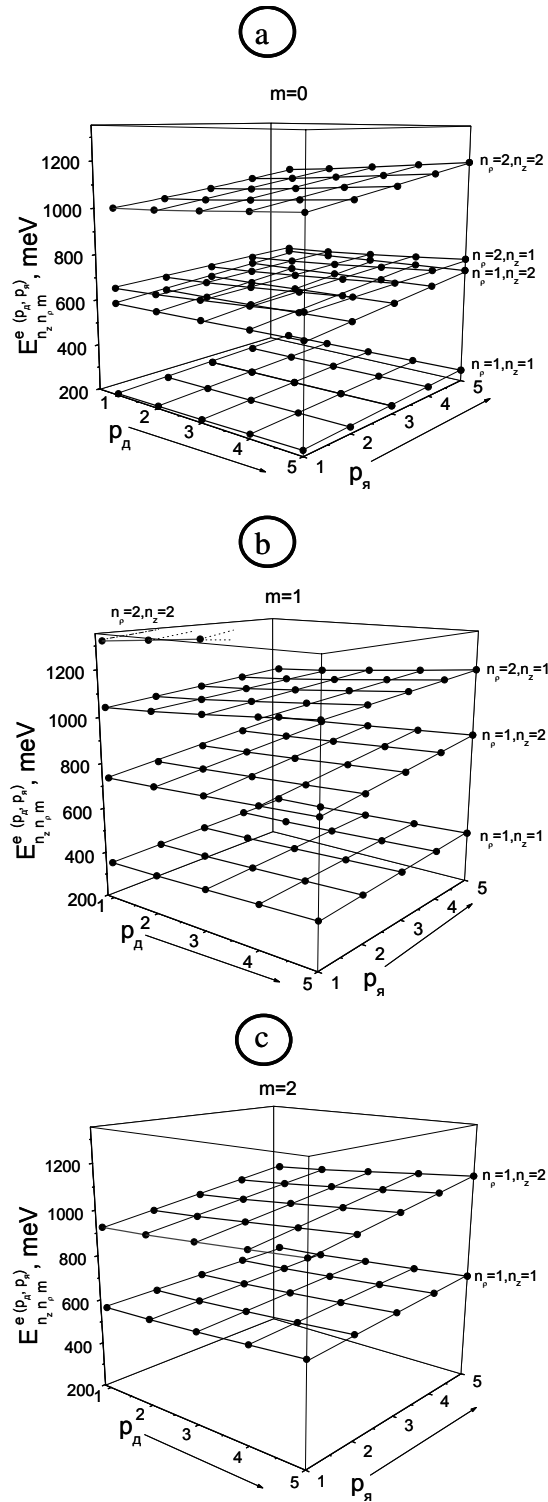


Рис. 4. Залежність енергії електрона  $E_{n_z, n_\rho, m}^{e, h(p_d, p_\pi)}$  від квантових чисел  $n_z, n_\rho, m$  в інтервалах значень  $p_d$  і  $p_\pi$  від 1 до 5 при  $\rho_0 = 10a_{\text{HgS}}$ ,  $h_0 = 10a_{\text{HgS}}$ .

- [1] Ж. И. Алферов, Физ. техн. полупр. **32**, 3 (1998).  
 [2] Н. Н. Леденцов, В. М. Устинов, В. А. Шукин, П. С. Копьев, Ж. И. Алферов, Д. Бимберг, Физ. техн.

- полупр. **32**, 385 (1998).  
 [3] Н. В. Ткач, Физ. техн. полупр. **39**, 1109 (1997).  
 [4] Ch. Greus, R. Spiegel, P. A. Knipp, T. L. Reinecke,

- F. Faller, A. Forchel, Phys. Rev. B **49**, 5753 (1994).  
 [5] D. Schooss, A. Mews, A. Eychmuller, H. Weller, Phys. Rev. B **49**, 17072 (1994).  
 [6] X. F. Wang, X. L. Lei, Phys. Rev. B **49**, 4780 (1994).  
 [7] N. C. Constantinou, B. K. Ridley, Phys. Rev. B **41**, 10627 (1990).  
 [8] N. Mori, T. Ando, Phys. Rev. B **40**, 6175 (1989).  
 [9] G. Q. Hai, F. M. Peeters, J. T. Devreese, Phys. Rev. B **48**, 4666 (1993).  
 [10] M. Tkach, V. Holovatsky, O. Voitsekhivska, Physica E **11**, 17 (2001).  
 [11] Н. В. Ткач, А. М. Маханец, Физ. тверд. тела **47**, 550 (2005).  
 [12] М. В. Ткач, О. М. Маханець, А. М. Грищук, Укр. фіз. журн. **50**, 1288 (2005).  
 [13] R. W. Siegel, in *Proc. E-MRS Fall Meeting* (2004), p. 24.  
 [14] М. В. Ткач, Я. М. Березовський, Укр. фіз. журн. **48**, 75 (2003).  
 [15] Kai C. Yung, H. Yee Jick, Phys. Rev. A **50**, 104 (1994).  
 [16] A. V. Kolesnikov, A. P. Silin, Phys. Rev. B **59**, 7596 (1999).

# THE PROPERTIES OF ELECTRON AND HOLE SPECTRA IN A QUANTUM WIRE CROSSING PLANE QUANTUM WELL IN EXTERNAL MEDIUM

M. V. Tkach, O. M. Makhanets, A. M. Gryschyk  
*Fedkovych Chernivtsi National University,*  
*2 Kotsiubynsky St., Chernivtsi, UA-58012, Ukraine*  
*E-mail: theorphys@chnu.cv.ua*

The electron and hole energy spectra in the combined semiconductor nanoheterosystem consisting of cylindrical semiconductor quantum wire perpendicularly crossing the plane quantum well placed into the external medium are calculated within the effective mass approximation and rectangular potential method. The dependences of quasiparticles energies on the radius of quantum wire and width of the quantum well are studied in detail.